

Nombre del Producto: Anticuerpo policlonal de conejo MyD88**Nº de Catálogo: APRab14274**

Solo para uso en investigación.

Resumen

Descripción	Anticuerpo policlonal de conejo
Huésped	Conejo
Aplicación	WB,IHC,ICC/IF,ELISA
Reactividad	Humano, Ratón, Rata, Otro
Conjugación	No conjugado
Modificación	Sin modificar
Isotipo	IgG
Clonalidad	Policlonal
Formato	Líquido
Concentración	1 mg/ml
Almacenamiento	Hacer alícuotas y almacenar a -20°C (válido por 12 meses). Evitar ciclos de congelación/descongelación.
Envío	Bolsas de hielo
Tampon	Líquido en PBS que contiene 50% de glicerol, 0,5% de proteína protectora y 0,02% de conservante de nuevo tipo N.
Purificación	Purificación por afinidad

Aplicación

Relación de Dilución	WB 1:500-1:2000,IHC 1:100-1:300,ICC/IF 1:50-1:200,ELISA 1:10000-1:20000
Peso Molecular	33kDa

Información del Antígeno

Nombre del Gen	MyD88
Nombres Alternativos	MYD88; Myeloid differentiation primary response protein MyD88
ID del Gen	4615.0
ID SwissProt	Q99836
Inmunógeno	El antisuero se produjo contra el péptido sintetizado derivado del MyD88 humano. Rango de AA: 171-220.

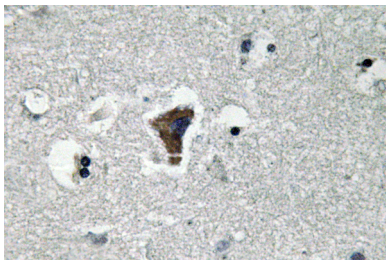
Antecedentes

Este gen codifica una proteína adaptadora citosólica que desempeña un papel fundamental en la respuesta inmunitaria innata y adaptativa. Esta proteína funciona como un transductor de señales esencial en las vías de señalización de la interleucina-1 y del receptor tipo Toll. Estas vías regulan la activación de numerosos genes proinflamatorios. La proteína codificada consta de un dominio de muerte N-terminal y un dominio del receptor Toll-interleucina-1 C-terminal. Los pacientes con defectos en este gen presentan una mayor susceptibilidad a las infecciones bacterianas piógenas. El empalme alternativo produce múltiples variantes de transcripción. [proporcionado por RefSeq, febrero de 2010], enfermedad: Los defectos en MYD88 son la causa de la deficiencia de MYD88 (MYD88D) [MIM:612260]; también denominadas infecciones bacterianas piógenas recurrentes debidas a la deficiencia de MYD88. Los pacientes padecen infecciones bacterianas piógenas autosómicas recesivas, potencialmente mortales y a menudo recurrentes, incluyendo la enfermedad neumocócica invasiva, y fallecen entre 1 y 11 meses de edad. Los pacientes supervivientes están por lo demás sanos, con una resistencia normal a otros microbios, y su estado clínico ha mejorado con la edad. Función: Proteína adaptadora implicada en la vía de señalización del receptor tipo Toll y del receptor de IL-1 en la respuesta inmunitaria innata. Actúa a través de IRAK1, IRAK2 y TRAF6, lo que induce la activación de NF-kappa-B, la secreción de citocinas y la respuesta inflamatoria. Aumenta la transcripción de IL-8. Puede estar implicada en la diferenciación mieloide. Similitud: Contiene un dominio de muerte. Similitud: Contiene un dominio TIR. Subunidad: Homodímero. También forma heterodímeros con TIRAP. Se une a TLR2, TLR4, IRAK1 e IRAK2 a través de sus respectivos dominios TIR. Interactúa con IL1RL1.,especificidad tisular:Ubicuo.,

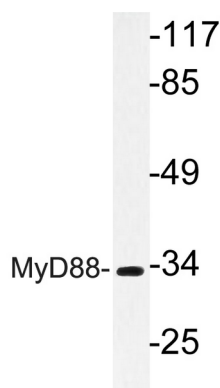
Área de Investigación

Inhibición de la apoptosis; Apoptosis mitocondrial; Descripción general de la apoptosis; Tipo Toll;

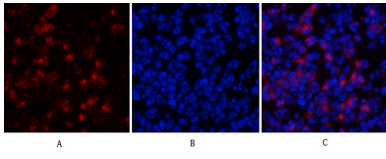
Datos de Imagen



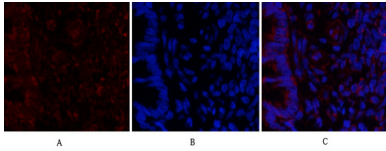
Análisis inmunohistoquímico del anticuerpo MyD88 en tejido cerebral humano incluido en parafina.



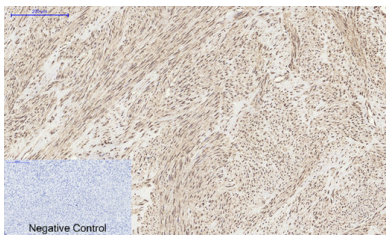
Análisis de transferencia Western del lisado de células COLO, utilizando el anticuerpo MyD88.



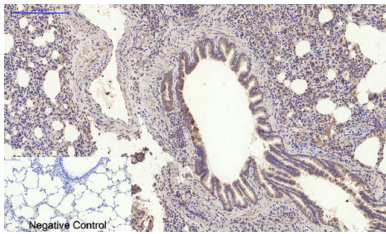
Análisis de inmunofluorescencia de tejido de bazo de ratón. 1. El anticuerpo policlonal MyD88 (rojo) se diluyó a 1:200 (4 °C, durante la noche). 2. El anticuerpo secundario marcado con Cy3 se diluyó a 1:300 (temperatura ambiente, 50 min). 3. Imagen B: DAPI (azul) 10 min. Imagen A: Objetivo. Imagen B: DAPI. Imagen C: Fusión de A+B.



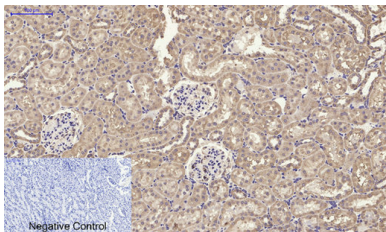
Análisis de inmunofluorescencia de tejido pulmonar de rata. 1. El anticuerpo policlonal MyD88 (rojo) se diluyó a 1:200 (4 °C, durante la noche). 2. El anticuerpo secundario marcado con Cy3 se diluyó a 1:300 (temperatura ambiente, 50 min). 3. Imagen B: DAPI (azul) 10 min. Imagen A: Objetivo. Imagen B: DAPI. Imagen C: Fusión de A+B.



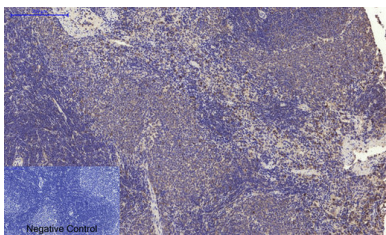
Análisis inmunohistoquímico de tejido uterino humano incluido en parafina. 1. El anticuerpo policlonal MyD88 se diluyó a 1:200 (4 °C, durante la noche). 2. Se utilizó citrato de sodio a pH 6,0 para la recuperación de anticuerpos (>98 °C, 20 min). 3. El anticuerpo secundario se diluyó a 1:200 (temperatura ambiente, 30 min). El control negativo se utilizó solo con el anticuerpo secundario.



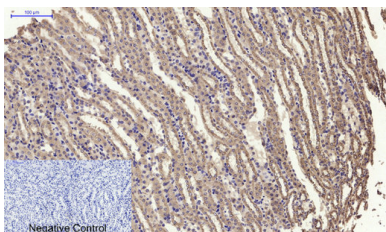
Análisis inmunohistoquímico de tejido pulmonar de rata incluido en parafina. 1. El anticuerpo policlonal MyD88 se diluyó a 1:200 (4 °C, durante la noche). 2. Se utilizó citrato de sodio a pH 6,0 para la recuperación de anticuerpos (>98 °C, 20 min). 3. El anticuerpo secundario se diluyó a 1:200 (temperatura ambiente, 30 min). El control negativo se utilizó solo con el anticuerpo secundario.



Análisis inmunohistoquímico de tejido renal de rata incluido en parafina. 1. El anticuerpo policlonal MyD88 se diluyó a 1:200 (4 °C, durante la noche). 2. Se utilizó citrato de sodio a pH 6,0 para la recuperación de anticuerpos (>98 °C, 20 min). 3. El anticuerpo secundario se diluyó a 1:200 (temperatura ambiente, 30 min). El control negativo se utilizó solo con el anticuerpo secundario.



Análisis inmunohistoquímico de tejido de bazo de rata incluido en parafina. 1. El anticuerpo policlonal MyD88 se diluyó a 1:200 (4 °C, durante la noche). 2. Se utilizó citrato de sodio a pH 6,0 para la recuperación de anticuerpos (>98 °C, 20 min). 3. El anticuerpo secundario se diluyó a 1:200 (temperatura ambiente, 30 min). El control negativo se utilizó solo con el anticuerpo secundario.



Análisis inmunohistoquímico de tejido renal de ratón incluido en parafina. 1. El anticuerpo policlonal MyD88 se diluyó a 1:200 (4 °C, durante la noche). 2. Se utilizó citrato de sodio a pH 6,0 para la recuperación de anticuerpos (>98 °C, 20 min). 3. El anticuerpo secundario se diluyó a 1:200 (temperatura ambiente, 30 min). El control negativo se utilizó solo con el anticuerpo secundario.